

活性炭의 吸着能에 關한 研究

金丙郁*

A Study on Adsorptivity of Active Carbon

Byung-wook, Kim*

*Dept. of Chem Eng., College of Eng. & Science, Yonsei University

Adsorptivities, solid surface acidity, specific surface area, bulk density, electron microscopic observation etc. have been measured on the traces and investigated which are accompanied by the change of principal factors in manufacturing active carbon for liquid phase, activated with $ZnCl_2$.

As a result, concerning the important operation factors of activation time, activation temperature, amount of $ZnCl_2$, amount of HCl, raw material size, active carbon size etc., the optimum conditions causing a good activation state were found out, and moreover, mechanisms of $ZnCl_2$ and HCl adding effect, activation, and overactivation are clarified.

The correlation of each factor of solid surface acidity, specific surface area, pore distribution etc. to adsorptivity, and the significance of measuring bulk density also are brought to light.

I. 序 言

木質, 土炭 等을 原料로 하고, $ZnCl_2$ 를 活性剤로 使用하여 炭化 및 活性化를 同時に 行하는 方法은, 液相用活性炭의 製造法으로 가장 典型的이고 效果的인 製法으로 알려져 있다.¹³⁾

이 $ZnCl_2$ 賦活活性炭의 製法에 関하여서는 他吸着劑, 例컨데 酸性白土의 活性化 경우¹⁶⁾와 같이 原料 및 活性剤의 種類에 따른 實驗, 考察 等部分의 研究報告는 가끔 엿볼 수 있으나 全體의 面에서 體系化된 報告는 全無하다.

지금까지의 研究報告를 概觀해 보면 coconut shell, 落花生殼 等의 原料 種類 및 活性剤의 種類나 그 添加量의 工業的 吸着能에 關한 影響^{19, 25)}, 土炭 等原料 中의 灰分이 吸着能에 미치는 影響¹⁴⁾等, 製法에 對한 部分的研究와 製造된 商品의 活性炭에 對한 表

面狀態의 考察, 報告¹⁵⁾等으로 限定되어 있다.

한편 固體酸에 對해서도 그 定義에 따르는 B酸, L酸의 酸性度 및 酸의 強度와 化學吸着 및 觸媒能과의 相關關係에 對해서 많은 研究가 發表 되었다.²³⁾

그러나 一般的인 吸着, 即 物理吸着에 對한 固體酸의 相關性에 對해서는, 吸着劑에 表面酸性 化合物이 생길 것이라는 定性的인 示唆를 한 것²²⁾ 以外에는 아직 全히 研究된 바 없다.

뿐만 아니라 活性炭 製造時의 各 主要操作條件의 變化에 따른 吸着能, 比表面積, submicro, micro, macro 等의 各種 細孔分布 等의 追跡의 研究에 對한 報告도 缺如 되어 있다.

이른바 觸媒 製造, 觸媒 機構에 關한 高倍率 乃至 電子顯微鏡의 檢鏡에 依한 追跡의 考察, 研究^{10, 12)}는 많으며, 때로는 carbon black 과 製造된 活性炭 自體에 關한 檢鏡, 考察 等도 볼 수 있으나, 活性炭의 製造條件에 따르는 上記한 바 追跡의 檢鏡은 全無하

* 延世大學校 理工大學 化學工學科

다.

그러므로 본研究에서는豫備實驗¹³⁾과 實驗計劃自體를 要因 配置法에 依據하여 行하였으며, ZnCl₂ 賦活性炭에 關한 系統的研究를 進行함에 그 目的을 두었다.

이를테면 活性炭 製造條件에 있어서 가장 重要한 因子로 思料되는 活性化 時間, 活性化 溫度, 活性劑인 ZnCl₂의 添加量, 活性助劑인 HCl의 添加量, 原料의 粒度, 製造된 活性炭의 粒度 等을 一變數 變化法에 依하여 變化시키면서 Caramel, Iodine, Methylene Blue, Permanganate, Molasses等에 對한 液相 吸着能, 固體表面 酸性度, 比表面積 等을 測定함은勿論, 電子顯微鏡에 依한 追跡的 檢鏡, 觀察을 通하여 活性炭 製造時의 各 條件 變化의 吸着 特性에 關한 影響 및 活性化 機構, 過活性化 機構, 活性劑 效果의 機構, 各種 細孔分布 等을 究明하였다 것이다.

한편 固體 表面酸性度는, 이를 滴定法^{3,7)}에 의해 測定하여, 固體酸斗 吸着能과의 有關係를 檢討, 考察하였다, 比表面積 測定을 為해서는 透過法¹⁵⁾, BET法²⁴⁾等도 있으나 本 實驗에서는 比較的 操作이 簡便한 Gas Chromatograph法^{8,17,20)}에 依存하였다. 그리고 bulk density는 吸着劑의 細孔의 크기, 細孔數, 細孔分布, 比表面積, 過活性化等에도 直接的 相關性을 가지고 있을 것으로 思料되는 바, 製造時의 操作 條件의 變化에 따라서 이를 測定하였으며, 活性炭의 製造條件 및 吸着能 判定에 對한 그 意義를 檢討하여 보았다.

II. 實驗

1. 試料의 調製

一定한 mesh로 粉碎하여 103°C에서 6時間 乾燥시킨 後, desicator에 保管한 소나무 톱밥을 一定量 取하여, 一定量의 活性剤 ZnCl₂ 및 活性助剤 HCl과 물을 加한 後 2~3時間 digestion 시킨다.

이와같이 하여 얻은 半固相의 物質을 뚜껑 있는 黑鉛도가니에 넣고 muffle 爐內에서 溫度 및 活性化時間에 여리가지로 變化시켜 炭化 및 活性化를 同時に 行하였다.

一定 條件下에서 炭化, 活性化시킨 것을 爐에서 끼내어, 먼저 40 mesh程度로 粉碎하고, Zn 分이 完全히 除去될 때 까지 10% HCl 溶液으로 數回 끓여서 洗滌한 다음, 다시 水洗하여 PH가 6.0이 되도록 하였다. 다음 이를 乾燥하여 一定한 mesh로 粉碎한 다음 103°C에서 3時間 再 乾燥시킨 것을 試料로 擇하였다.

2. 吸着能의 測定^{6,25)}

液相用 活性炭의 吸着能은 Methylene Blue, Caramel, Molasses, Iodine, KMnO₄의 吸着試驗을 行하였으며 이들의 等溫吸着線은 각各 다음과 같은 方法으로 測定하였다.

Methylene Blue의 吸着試驗

0.1% Methylene Blue溶液 100 ml에 試料 0.2gr을 加하고 25分間 reflux condenser를 불여서 끓여준 後, glass filter로 濾過하고 一定量의 蒸溜水를 加해서 glass filter에 묻은 Methylene Blue를 씻어준다.

濾液에 남아있는 Methylene Blue의 濃度를 Atago製 photoelectric colorimeter로 測定하여 試料 1 gr當 吸着된 Methylene Blue의 mg로써 表示하였다.

Caramel吸着試驗

2% Caramel溶液 60 ml에 試料 0.2 gr을 加하고 30分間 reflux condenser를 불여서, 水浴上에서 加熱後 濾過한다. 濾液의濃度를 Atago製 photoelectric colorimeter로 測定하여 試料 1 gr當 吸着된 Caramel의 mg로써 表示하였다.

Molasses吸着試驗

Caramel吸着試驗과 同一한 方法인데, 30分間 reflux condenser를 불여서 水浴上에 加熱하는 代身에, 1時間 동안 振動數 3.2回/sec, 振幅 31.5cm의 shaker로 훈들여 준다.

Iodine吸着試驗

試料 0.25gr을 conical flask에 넣고 滴定時 생기는 副反應을 防止하기 위하여 滴定溶液의 PH를 調節한다. 即 5% HCl 5cc를 加한 후 約 30分間 끓인다.

이렇게 處理된 試料에 Iodine溶液(溶液 1l에 2.7 gr의 Iodine을 包含) 50ml를 加한 後, shaker로 1分間 훈들여서 100cc의 蒸溜水로 數回 洗滌하고, 濾過한 다음, 濾液을 澱粉溶液을 指示藥으로 0.01 N-Na₂S₂O₃로滴定하여 Iodine吸着能을 試料 1gr當에 吸着된 Iodine의 mg으로 나타내었다.

KMnO₄吸着試驗

試料 0.02gr과 0.5N-KMnO₄ 13ml를 100 ml beaker에 넣어서 1時間동안 shaker로 훈들여 준 後 glass filter로 濾過한다.

KMnO₄溶液은 KI溶液中에서 反應하여 Iodine을 遊離하므로, 濾液中에 包含되어 있는 KMnO₄가 反應하기에 充足한 理論量보다 약간 過量의 KI溶液 52 ml를 加한 다음 滴定時의 液性을 調節하기 위하여 50% H₂SO₄ 6 cc를 더 加해서 Iodine을 析出시킨다.

析出된 Iodine을 0.1N-Na₂S₂O₃로 滴定하여 試料

1 gr 當 吸着된 KMnO₄의 mg 로써 表示하였다.

3. 比表面積의 测定

吸着剤 等의 多孔性 粒子의 比表面의 測定法으로서
 는 基本的인 BET 法, 即 容量法¹¹⁾, 重量法⁹⁾과 本人 및
 卞裕亮 等이 發表한 氣體透過法¹⁵⁾等이 있다. 그러나
 本研究에서는 比表面積 測定을 위하여 選擇的 吸着에
 基礎를 둔 Gas Chromatograph 法^{8, 17, 20)}을 使用하였다. 即 Acetone 과 Helium 의 既知 混合氣體를 試料가
 充填된 column 을 通過시켜 吸着 및 脫着으로 생긴 混
 合氣體 속을 Acetone 濃度變化로 Hitachi 製 記錄式
 potentiometer 로 記錄하였다. 다음 chromatogram 의
 溶出曲線을 解析하여, 吸着等溫線을 求하고 이로부터
 다음式 (1)(2)를 使用한 BET 法²²⁾으로 比表面積을 計
 算하였다. 使用한 裝置의 略圖를 나타내면 Fig. 1 과
 같다.

$$\frac{x}{V(1-x)} = \frac{1}{V_m C} + \frac{C-1}{V_m C} x \quad (1)$$

$$\Sigma = S(V_m/22, 400) \quad (6.023 \times 10^{23}) \quad (2)$$

但 x : 相對壓, P/P_0

P_o : 蒸氣壓, mmHg

P : 平衡壓, mmHg

V: 吸着剤 Acetone の 容積, cc

$$C_i RT \ln C = E_i - E_U$$

S : 吸着分子의 斷面積, cm^2

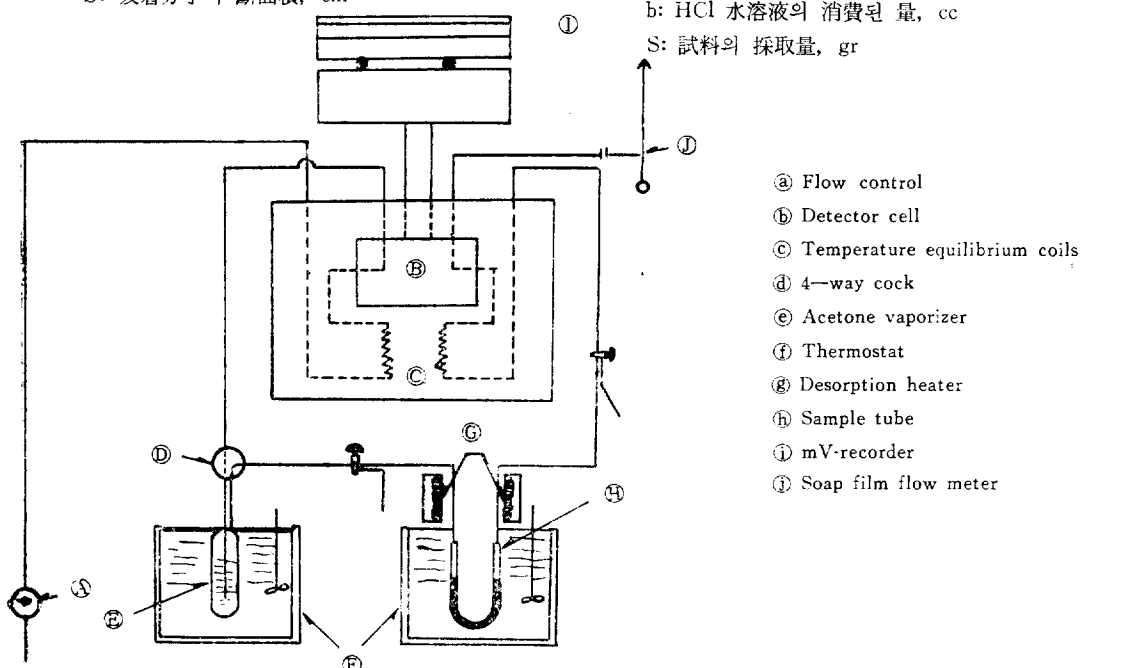


Fig. 1. Schematic Diagram of Experimental Apparatus for Measuring the Specific Surface Area

5. Bulk Density 의 测定⁸⁾

150~200 mesh로 粉碎한 試料를 120~150°C로 2時間동안 乾燥器에서 乾燥시킨 다음, 一定量을 秤量하여 直徑 1.2 cm, 높이 20 cm인 mass cylinder에 orifice直徑 0.7 cm인 funnel을 通하여 注入한 후, 振動數 3.2回/sec, 振幅 31.5 cm인 shaker에서 10分間 振盪시킨 다음, 容積을 記錄하여 다음 式으로 부터 bulk density를 测定하였다.

$$\frac{\text{Weight of Dry Carbon Sample}}{\text{Volume of Packed}} = \text{Bulk Density}$$

6. 電子顯微鏡에 依한 追跡의 인 觀測

活性화에 따르는 試料의 吸着能의 變化를 追跡하기 為하여 電子顯微鏡 寫真(擴大率 75,000倍)을 通하여 活性化溫度, 活性化時間 및 活性劑($ZnCl_2$)의 量의 變化에 따르는 表面의 變化를 觀察하였으며. 그 結果에 따라서 表面構造와 吸着能 사이의 相關性를 究明코자 努力하였다.

이때 各 試料를 Shimadzu 製 S-200 Type 超音波裝置로써 15分 동안 超音波處理를 行하여 分散시킨 것을 Hitachi 製 HUS-3 Type의 真空蒸着器로서 sheet mesh

Table 1. Various Conditions on Preparation of Samples

Sample Number	Raw Material		Pretreatment Kind & Amount of Activation Agent, etc., gr	Carbonization & Activation		Product Size, Mesh	Remark
	Mesh	Amount, gr		Temp, °C	Time, hr		
1	-35	50	$ZnCl_2$: 100 HCl: 44 H_2O : 300	700	0.5	-150/+200	Change of Activation Time
2	-35	50	$ZnCl_2$: 100 HCl: 44 H_2O : 300	700	1.0	-150/+200	Change of Activation Time
3	-35	50	$ZnCl_2$: 100 HCl: 44 H_2O : 300	700	1.5	-150/+200	Change of Activation Time
4	-35	50	$ZnCl_2$: 100 HCl: 44 H_2O : 300	700	2.0	-150/+200	Change of Activation Time
5	-35	50	$ZnCl_2$: 100 HCl: 44 H_2O : 300	700	2.5	-150/+200	Change of Activation Time
6	-35	50	$ZnCl_2$: 100 HCl: 44 H_2O : 300	700	3.0	-150/+200	Change of Activation Time
7	-35	50	$ZnCl_2$: 100 HCl: 44 H_2O : 300	700	3.5	-150/+200	Change of Activation Time
8	-35	50	$ZnCl_2$: 100 HCl: 44 H_2O : 300	700	4.0	-150/+200	Change of Activation Time
9	-35	50	$ZnCl_2$: 100 HCl: 44 H_2O : 300	500	3.0	-150/+200	Change of Activation Temperature
10	-35	50	$ZnCl_2$: 100 HCl: 44 H_2O : 300	600	3	-150/+200	Change of Activation Temperature
11	-35	50	$ZnCl_2$: 100 HCl: 44 H_2O : 300	700	3	-150/+200	Change of Activation Temperature
12	-35	50	$ZnCl_2$: 100 HCl: 44 H_2O : 300	800	3	-150/+200	Change of Activation Temperature
13	-35	50	$ZnCl_2$: 100 HCl: 44 H_2O : 300	900	3	-150/+200	Change of Activation Temperature
14	-35	50	$ZnCl_2$: 100 HCl: 44 H_2O : 300	980	3	-150/+200	Change of Activation Temperature
15	-35	50	$ZnCl_2$: 0 HCl: 0 H_2O : 0	700	3	-150/+200	Activation without Activation Agent

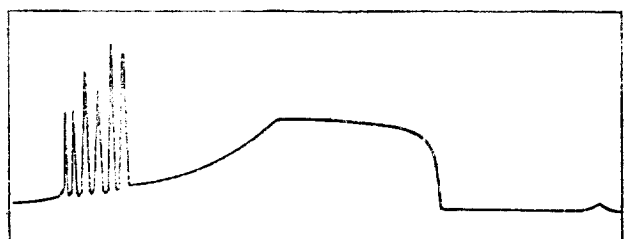
16	-35	50	ZnCl ₂ : HCl: H ₂ O:	12.5 44 300	700	3	-150/+200	Change of Amount of Activation Agent, ZnCl ₂
17	-35	50	ZnCl ₂ : HCl: H ₂ O:	25 44 300	700	3	-150/+200	Change of Amount of Activation Agent, ZnCl ₂
18	-35	50	ZnCl ₂ : HCl: H ₂ O:	50 44 300	700	3	-150/+200	Change of Amount of Activation Agent, ZnCl ₂
19	-35	50	ZnCl ₂ : HCl: H ₂ O:	75 44 300	700	3	-150/+200	Change of Amount of Activation Agent, ZnCl ₂
20	-35	50	ZnCl ₂ : HCl: H ₂ O:	125 44 300	700	3	-150/+200	Change of Amount of Activation Agent, ZnCl ₂
21	-35	50	ZnCl ₂ : HCl: H ₂ O:	150 44 300	700	3	-150/+200	Change of Amount of Activation Agent, ZnCl ₂
22	-35	50	ZnCl ₂ : HCl: H ₂ O:	100 35 300	700	3	-150/+200	Change of Amount of Activation Promoter, HCl
23	-35	50	ZnCl ₂ : HCl: H ₂ O:	100 44 300	700	3	-150/+200	Change of Amount of Activation Promoter, HCl
24	-35	50	ZnCl ₂ : HCl: H ₂ O:	100 49 300	700	3	-150/+200	Change of Amount of Activation Promoter, HCl
25	-35	50	ZnCl ₂ : HCl: H ₂ O:	100 71 300	700	3	-150/+200	Change of Amount of Activation Promoter, HCl
26	-35	50	ZnCl ₂ : HCl: H ₂ O:	100 86 300	700	3	-150/+200	Change of Amount of Activation Promoter, HCl
27	-63	50	ZnCl ₂ : HCl: H ₂ O:	100 44 300	700	3	-150/+200	Change of Raw Material Size
28	-48/+65	50	ZnCl ₂ : HCl: H ₂ O:	100 44 300	700	3	-150/+200	Change of Raw Material Size
29	-35/+48	50	ZnCl ₂ : HCl: H ₂ O:	100 44 300	700	3	-150/+200	Change of Raw Material Size
30	-24/+35	50	ZnCl ₂ : HCl: H ₂ O:	100 44 300	700	3	-150/+200	Change of Raw Material Size
31	-16/+24	50	ZnCl ₂ : HCl: H ₂ O:	100 44 300	700	3	-150/+200	Change of Raw Material Size
32	-12/+16	50	ZnCl ₂ : HCl: H ₂ O:	100 44 300	700	3	-150/+200	Change of Raw Material Size
33	-35	50	ZnCl ₂ : HCl: H ₂ O:	100 44 300	700	3	-200	Change of Product Size
34	-35	50	ZnCl ₂ : HCl: H ₂ O:	100 44 300	700	3	-170/+200	Change of Product Size
35	-35	50	ZnCl ₂ : HCl: H ₂ O:	100 44 300	700	3	-150/+170	Change of Product Size
36	-35	50	ZnCl ₂ : HCl: H ₂ O:	100 44 300	700	3	-115/+150	Change of Product Size
37	-53	50	ZnCl ₂ : HCl: H ₂ O:	100 44 300	700	3	-100/+115	Change of Product Size
38							-150/+200	Japan Made
39							-150/+200	Norit
40							-150/+200	Girdler E32

上에 蒸着한 後, Hitachi 製 HS-6 Type 의 電顯子散鏡을 使用하여 觀測하였다.

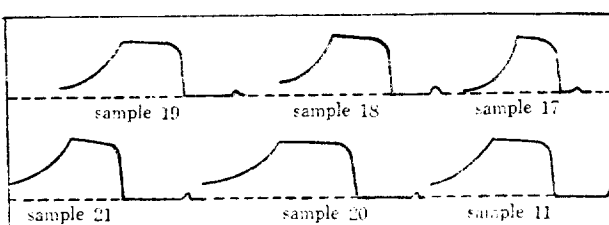
III. 實驗結果

1. 試料의 Data

試料인 活性炭을 調製할 때의 重要한 因子인 活性化時間, 活性化溫度, 活性剤인 $ZnCl_2$ 的 添加量, 活性助剤인 HCl의 添加量, 原料인 틈밥의 粒度 및 試料(活性炭)의 粒度를 變化한 各 試料와, 이 試料의 基本的



a. Curve for the Entire Range of One of the Typical Sample



b. Curves for the Samples Treated with Various Amount of $ZnCl_2$

Activation temperature: 700°C

Activation time: 2.5 hr

Amount of HCl: 30 wt. %

Particle size of raw material: -35 mesh

Particle size of product: -150/+200 mesh

Fig. 2. Elution Curve of Acetone

인 物性을 比較하기 為하여 外國製도 아울러 表示하면 Table 1과 같다.

2. 比表面積 測定 Data

Gas-adsorption chromatography를 測定한 chromatogram의 溶出曲線은 Fig. 2-a, 2-b와 같으며, 이의 解析으로 求한 吸着等溫線은 Fig. 3-a, 3-b, 3-c에 表示하였다.

比表面積은, 이 吸着等溫線으로 부터 式 (1), (2)에 依하여 計算하였다.

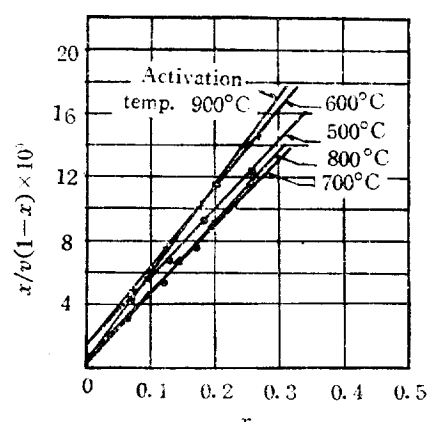


Fig. 3-b. Acetone Isotherm for Active Carbon,
Sample No. 9~13

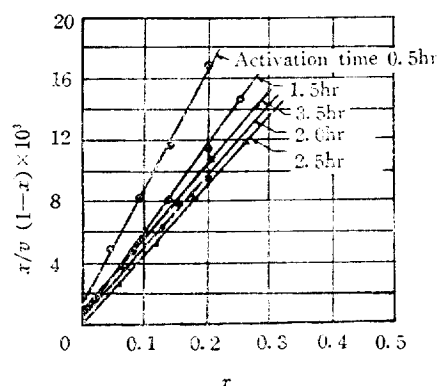


Fig. 3-a. Acetone Isotherm for Active Carbon,
Sample No. 1~7

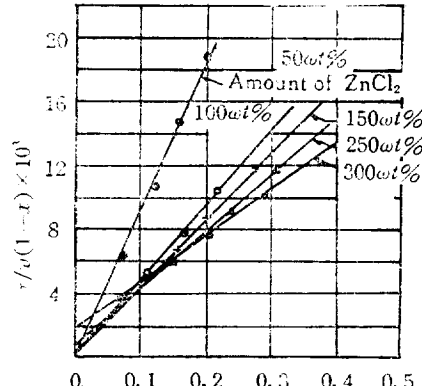


Fig. 3-c. Acetone Isotherm for Active Carbon,
Sample No. 17~21

3. 實驗 Data

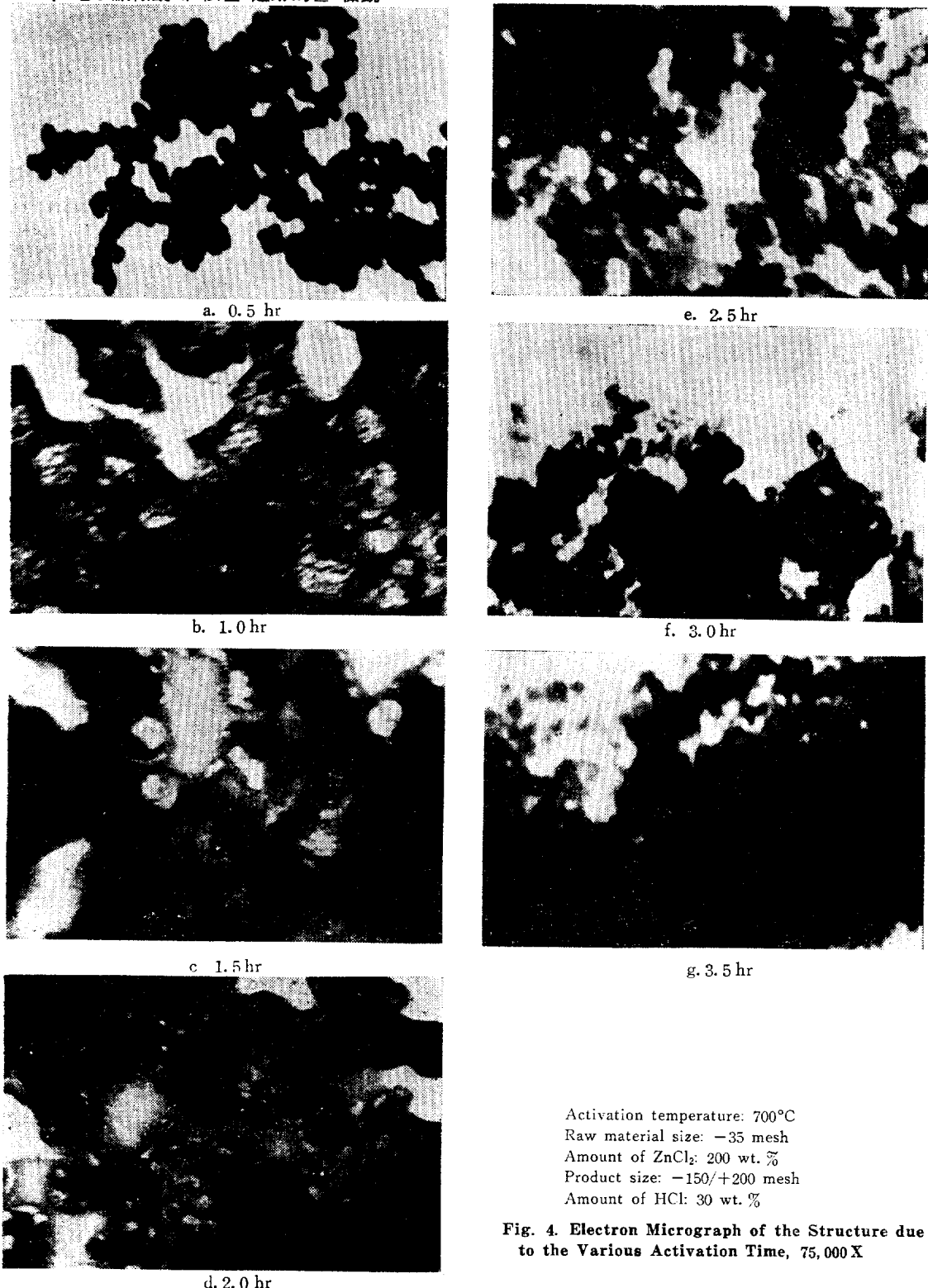
Table 1 의 試料에 對한 各種 吸着能, 比表面積, 固體

表面酸性度 및 bulk density 를 測定한 結果를 總括하
된 아래 Table 2 와 같다.

Table 2. Experimental Data

Sample Number	Methylene Blue, mg/gr-active carbon	Caramel, mg/gr-active carbon	Molasses, mg/gr-active carbon	Iodine, mg/gr-active carbon	Permanganate, mg/gr-active carbon	Specific surface area, m ² /gr	Solid surface acidity, meq-KOH/gr active carbon	Bulk density, gr/cm ³	Remark
1	278	1,200	1,210	495	708	745	1.22	0.410	
2	310	1,550	1,780	510	740	995	0.97	0.374	
3	330	1,850	2,220	519	791	1,160	0.85	0.353	
4	350	2,220	2,340	532	824	1,265	0.77	0.331	
5	352	2,300	2,475	521	793	1,250	0.68	0.323	
6	338	2,120	2,760	519	716	1,200	0.55	0.316	
7	305	1,930	2,410	525	602	1,110	0.43	0.292	
8	302	1,550	1,820	512	512	—	—	—	
9	250	1,280	2,110	490	712	935	0.98	0.402	
10	324	2,040	2,420	533	782	1,115	0.84	0.372	
11	380	2,420	2,620	517	832	1,250	0.60	0.339	
12	364	2,310	2,540	518	782	1,188	0.51	0.301	
13	328	1,970	2,350	518	721	1,050	0.38	0.290	
14	312	2,005	2,080	513	705	—	0.35	—	
15	52	630	650	163	50	—	—	—	
16	120	1,120	1,140	490	320	—	—	—	
17	200	1,090	1,360	527	512	753	1.05	0.410	
18	320	1,680	1,863	525	675	1,020	0.98	0.381	
19	360	1,956	2,062	526	754	1,190	0.88	0.354	
20	338	2,000	2,595	528	817	1,290	0.82	0.301	
21	310	1,980	2,682	522	845	1,325	0.76	0.296	
22	300	1,750	2,208	523	452	—	—	—	
23	362	2,060	2,720	522	654	—	—	—	
24	346	1,960	2,810	515	795	—	—	—	
25	324	1,890	2,710	510	753	—	—	—	
26	304	1,580	2,640	516	689	—	—	—	
27	310	2,100	1,980	523	536	—	—	—	
28	360	2,320	2,260	512	672	—	—	—	
29	364	2,310	2,310	518	720	—	—	—	
30	358	2,250	2,300	525	740	—	—	—	
31	360	2,150	2,280	515	763	—	—	—	
32	332	2,060	2,260	515	683	—	—	—	
33	350	2,220	2,370	517	730	—	—	—	
34	366	2,350	2,535	520	672	—	—	—	
35	370	2,390	2,650	518	608	—	—	—	
36	385	2,275	2,475	515	545	—	—	—	
37	401	2,015	2,160	525	460	—	—	—	
38	388	2,700	1,500	308	734	—	—	—	Japan Made
39	372	1,648	1,818	532	518	—	—	—	Norit
40	375	1,650	1,816	538	519	718	—	—	Girdler E32

4. 電子顯微鏡에 依한 追跡의인 檢鏡

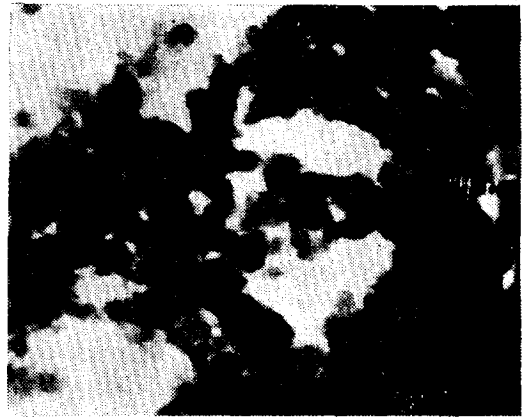


Activation temperature: 700°C
Raw material size: -35 mesh
Amount of ZnCl₂: 200 wt. %
Product size: -150/+200 mesh
Amount of HCl: 30 wt. %

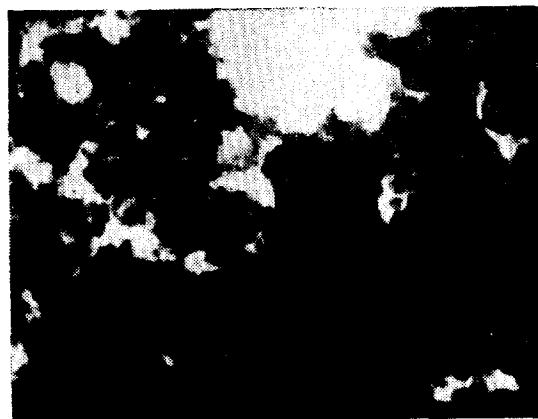
Fig. 4. Electron Micrograph of the Structure due to the Various Activation Time, 75,000 X



a. 500°C



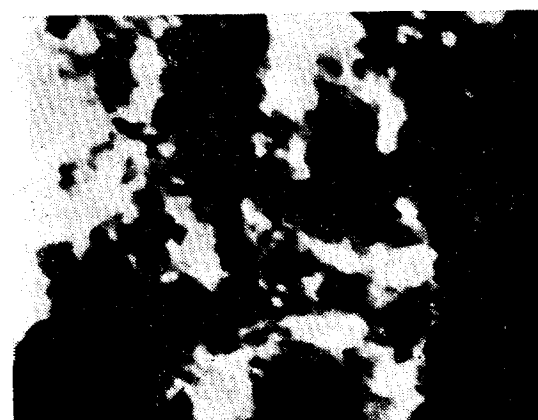
d. 750°C



b. 600°C



e. 800°C



c. 700°C



f. 900°C

Activation time: 2.5 hr
Raw material size: -35 mesh
Amount of ZnCl₂: 200 wt. %

Amount of HCl: 30 wt. %
Product size: -150/+200 mesh

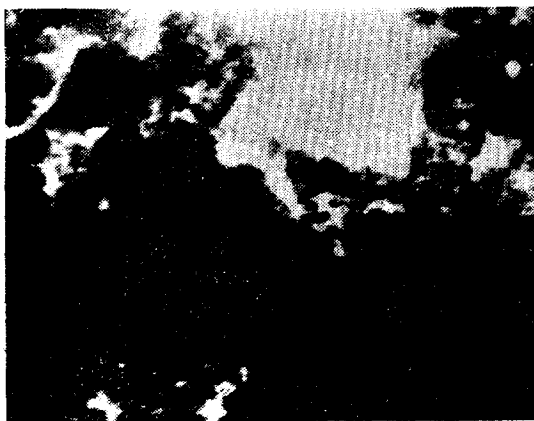
Fig. 5. Electron Micrograph of the Structure due to the Various Activation Temperature, 75,000 X



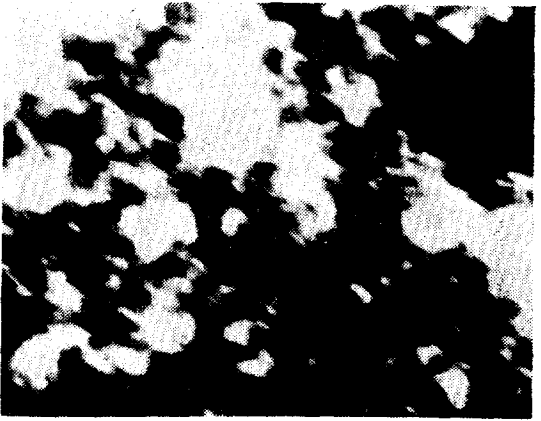
a. 50 %



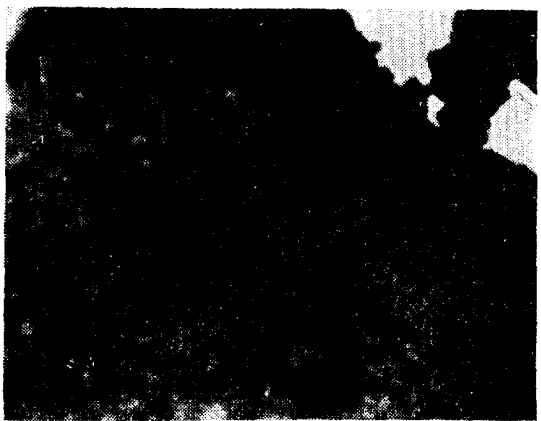
d. 200 %



b. 100 %

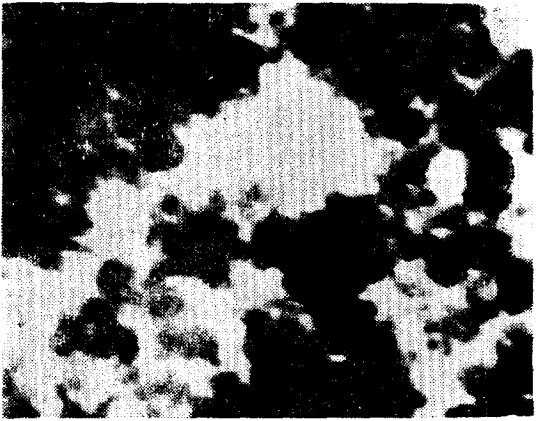


e. 250 %



c. 150 %

Activation time: 2.5 hr
Activation temperature: 700°C
Amount of HCl: 30 wt. %



f. 300 %

Raw material size: -35 mesh
Product Size: -150/+200 mesh

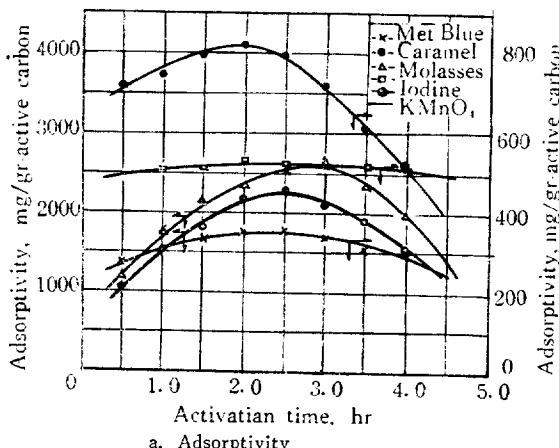
Fig. 6. Electron Micrograph of the Structure due to the Various Amount of Activation Agent, $ZnCl_2$, 75,000 X

IV. 實驗結果의 整理 및 考察

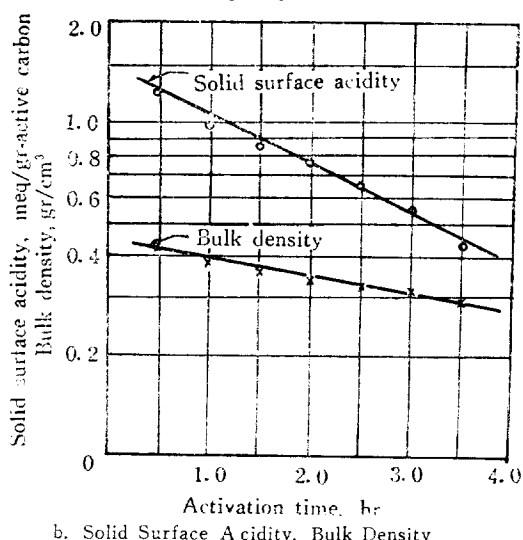
Table 1, 2에 表示한 各試料의 吸着能, 比表面積, 固體表面酸性度, bulk density, 活性化時間, 活性化溫度, 活性剤($ZnCl_2$)의 添加量, 活性助剤(HCl)의 添加量, 原料 및 試料(活性炭)의 粒度를 算數座標 또는 semi-log座標에 表示하고 電子顯微鏡에 依한 追跡觀察을 參照하여 整理, 考察하면 다음과 같은 結果를 얻는다.

1. 活性化時間과 吸着能, 比表面積, 固體表面酸性度, Bulk Density

試料(活性炭) 調製時 活性化時間以外의 他因子, 이를테면 活性化溫度, 活性剤($ZnCl_2$)의 添加量, 活性助剤(HCl)의 添加量 및 原料(소나무 톱밥)와 試料(活性炭)의 粒度 等을 固定시키고 活性化時間만을 變數로 써變化시켜 얻은 試料들의 吸着能, 比表面積, 固體表面



a. Adsorptivity

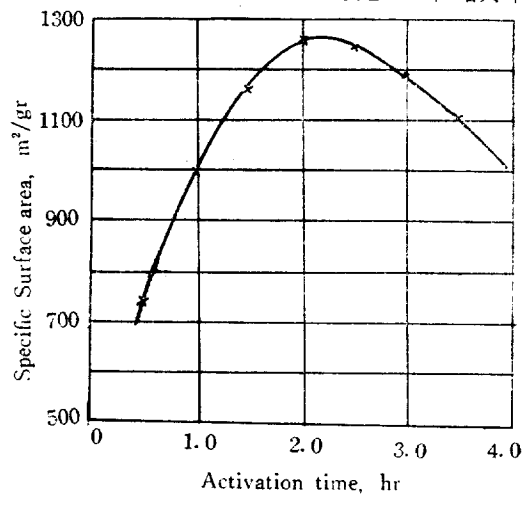


b. Solid Surface Acidity, Bulk Density

酸性度 및 bulk density 를 Table 1, 2에 依據하여 plot 한 結果는 Fig. 7과 같다. 그 中 Fig. 7-a는 活性化時間에 따르는 吸着能의 測定值를 plot 한 것이며, Fig. 7-b는 活性化時間에 따르는 固體表面酸性度 및 bulk density 와의 關係를 나타낸다. 그리고 活性化時間에 따르는 比表面積의 關係는 Fig. 7-c에 실었다.

Fig. 7-a에 依하면 Iodine에 限하에 吸着能이 活性化時間의 영향을 거의 받지 않고 있으나, Methylene Blue, Caramel, Molasses 및 Permanganate에 있어서는 活性化時間의 吸着能에 미치는 영향이 현저하며, 2~3時間에 걸쳐 maximum에 達한 後 서서히 減小되고 있다. Iodine吸着에서 볼 수 있는 이와 같은 現象은,豫備實驗¹³⁾에서도 나타난 바, 一般으로 原料種類에 從屬될 뿐 活性炭製造條件因子에는 거의 無關하였다.

活性化한 吸着劑의 吸着能을 크게 하는 것, 再言하면 細孔數量增加시키므로 內部表面積을 크게 增大시



c. Specific Surface Area

Activation temperature: 700°C
 $ZnCl_2$ /Raw material: 200 wt. %
HCl/Raw material: 30 wt. %
Raw material size: -35 mesh
Product size: -150/+200 mesh

Fig. 7. Effect of Activation Time on Adsorptivity, Specific Surface Area, Solid Surface Acidity and Bulk Density

키며 또한 適當한 細孔分布를 갖게 하는 것으로서 思料된다.

活性化의 機構에 關해서는 Chaney⁴⁾, Briggs⁵⁾,

Burrage¹⁹⁾ 等의 報告가 있다.

本 實驗結果에 依하면 活性化가 進行되면, 真密度가 顯著하게 增加되는 反面에 bulk density는 若干 減少된다. 이것으로 從로 보면, digestion 時 纖維素가 $ZnCl_2$ 에 溶解되어 活性化되기 쉬운 狀態로 되며, 活性化過程에서 水素, 酸素, 炭素의 結合이 崩壊되어, 水素, 酸素은 H_2O 로 挥發하는 同時に, 內部收縮이 일어나서 多孔性의 炭素骨格構造를 갖는 것으로 추측된다. 다음 過活性化에 對해서는 두 가지 形態를 생각할 수 있다. 이를테면 型 1은 지나친 活性化로 因하여 粒子內部의 毛細管들이 破壞됨과 同時に 큰 구멍이 形成되므로 bulk density, 比表面積 및 固體表面酸性度는 모두 減少될 것이다, 萬若 더욱 過活性化되면 큰 구멍까지도 破壞, 消失되어 bulk density가 增加되는 反面에 比表面積 및 固體表面酸性度는 더욱 줄어드는 型 2의 過活性化形態를 招來할 것이다.

Fig. 7-a 에서는, 初期에는 活性化時間이 길어짐에 따라서, 活性化가 더욱 進行되어 吸着能이 增加하지만 3時間 以後에는 이와 같은 型 1의 過活性化가 일어나서 吸着能이 減少되는 것으로 料理된다. Semi-log 座標를 使用한 Fig. 7-b에 있어서는, 活性化時間에 따라서 固體表面酸性度와 bulk density가 直線的으로 減少하고 있다.

一般으로 活性化時間이 길어짐에 따라서 固體表面酸性度는 減少하고 있으며 特히 過活性化에서는 顯著히 줄 것이豫想된다.

그리고 bulk density도 活性化 및 過活性化로 因하여 繼續 減少되는 것으로 생각된다.

活性化時間과 固體表面酸性度 및 bulk density 사이의 相關係를 相關係數로부터 有意性檢定을 하여 본 結果 固體表面酸性度 및 bulk density에 對해서는 모두가 危險率 1%로써 매우 有意의인 直線關係가 成立되었다.

이들測定 data로 부터의 最少自乘法에 依한 固體表面酸性度 및 bulk density의 回歸直線方程式을 求한 結果는 다음의 式(3), (4)으로 나타내었다.

$$y = 1.485e^{-0.341x} \quad (3)$$

但 y: 固體表面酸性度 meq-KOH/gr-active carbon

x: 活性化時間, hr

$$y = 0.442e^{-0.216x} \quad (4)$$

但 y: Bulk density, cm³/gr

x: 活性化時間, hr

Fig. 7-b의 實線은 이들 回歸方程式에 依하여 그려

진 것이며, 回歸係數의 檢定에 依하여 回歸直線의 有意性을 檢定한 結果 모두 危險率 1% 内에서 有意하였다.

Fig. 7-c에서는 活性化時間 2時間 30分에 이르기까지는 比表面積이 增加되나, 그 以後에는 減少되고 있는데 이와 같은 現象은 앞서 言及한 바와 같이, 活性化進行에 따르는 細孔數의 增加 때문에 일단 比表面積이 增大하였다가 2時間 30分 以後에는 前記한 型 1의 過活性化로 因하여 減少되는 것으로 생각된다. 이는 活性化時間의 變化에 따른 表面狀態, 細孔分布를 電子顯微鏡에 依하여 追跡的으로 檢鏡한 Fig. 4에서도 充分히 觀察할 수 있다.

2. 活性化溫度와 吸着能, 比表面積, 固體表面酸性度, Bulk Density

試料인 活性炭을 製造할 때前述한 여러 因子中 活性化溫度만을 變數로써 變化시켜서 얻은 試料들의 吸着能, 比表面積, 固體表面酸性度 및 bulk density를 Table 1, 2에 依據하여 각각 plot한 結果는 Fig. 8과 같다. 그 中活性化溫度에 關하여 吸着能의 測定值를 plot한 것이 Fig. 8-a이며, 活性化溫度에 따르는 固體表面酸性度 및 bulk density를 plot한 것이 Fig. 8-b이고, Fig. 8-c에는 活性化溫度에 따르는 比表面積을 실었다.

Fig. 8-a를 살펴보면 Iodine의 吸着能은 500~600°C에서 若干增加하나, 그 以上的 溫度에서는 거의 變化가 없다.

그러나 Methylene Blue, Caramel, Molasses 및 Permanganate에 對한 吸着能은 溫度의 上昇에 따라서 增加하여 700~750°C에서 最高值에 達한 後 서서히 減少되고 있다.

이것으로 從로 보건대 700~750°C까지는 活性化가 繼續 進行되나, 그 以上的 溫度에서는 1에서前述한 바와 같이, 過活性化로 因하여, Iodine만을 除外한 其他 吸着能이 減少되는 것으로 料理된다.

Fig. 8-b를 살펴보면 活性化溫度가 上昇함에 따라서 固體表面酸性度와 bulk density는 다 같이 直線的으로 減少한다.

活性化溫度와 固體表面酸性度 및 bulk bensity 사이의 回歸直線方程式은 다음의 式 (5), (6)으로서 나타내었다.

$$y = 3.22e^{-0.00228x} \quad (5)$$

但 y : 固體表面酸性度, meq-KOH/gr.-active carbon
 x : 活性化溫度, °C
 $y = 0.67e^{-0.000990x}$ (6)

但 y : Bulk density, cm³/gr
 x : 活性化溫度, °C

이 때의 相關係數는 危險率 1% 또는 5%로 有意的이었다.

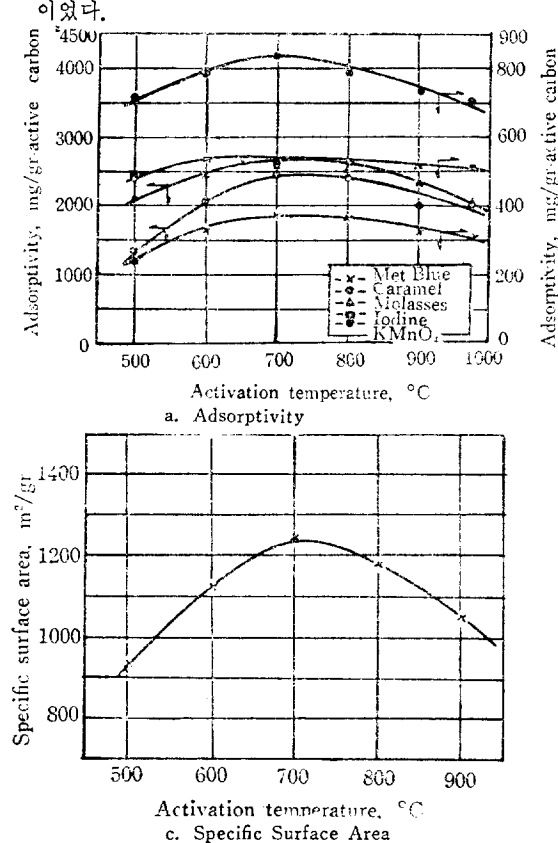


Fig. 8-c를 살펴보면 活性化溫度가 增加함에 따라 점차적으로 比表面積은 커지다가 700°C附近에서 차츰減少한다. 이는 活性化溫度에 따른 表面狀態, 細孔分布를 電子顯微鏡에 依하여 追跡의으로 檢鏡한 Fig. 5에 서도 能히 알 수 있다.

Fig. 8-a에서 吸着能이 700°C附近에서 가장 큰 것으로 미루어 보아 吸着劑인 試料(活性炭)의 吸着能에 있어서 重要한 因子는 比表面積이라고 看做할 수 있다.

3. 活性剤($ZnCl_2$)의 添加量과 吸着能, 比表面積, 固體表面酸性度, Bulk Density

試料인 活性炭을 調製할 때前述한 여러 因子中活性剤의 添加量만을 變化시키고 나머지 因子는 固定시

켜서 일은 試料의 吸着能, 比表面積, 固體表面酸性度 및 bulk density의 測定值를 Table 1, 2에 依據하여 plot 하면 Fig. 9가 얻어진다.

Fig. 9-a에는 活性剤의 添加量에 따른 吸着能을 plot 하였으며, 固體表面酸性度와 bulk density는 Fig. 9-b로, 比表面積은 Fig. 9-c로 나타내었다.

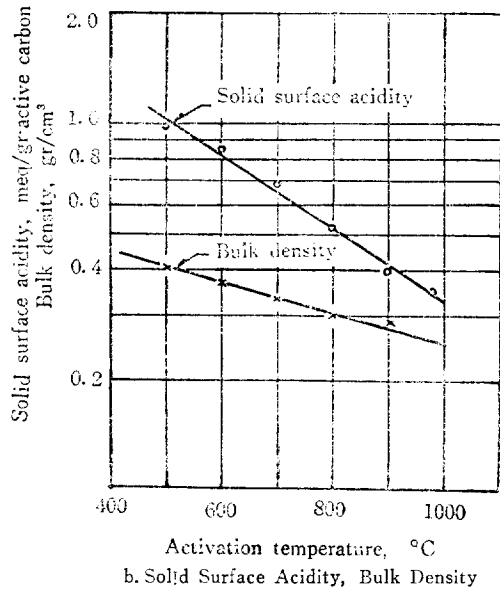


Fig. 8. Effect of Activation Temperature on Adsorptivity, Specific Surface Area, Solid Surface Acidity, and Bulk Density

活性剤로서는 $CaCl_2$, $ZnCl_2$, $FeSO_4$, $CaCO_3$ 等이 있으나, 豫備實驗¹³⁾에 依하면, $ZnCl_2$ 가 가장 良好하였다. 活性剤로써의 $ZnCl_2$ 效果에 對해서는 4個의 機構, 即觸媒의 分解, 氣體生成, 鹽의 生成 및 溶解作用을 생각할 수 있는데, 그 中에서도 溶解作用이 主動的役割을 하는 것으로 報告^{18, 19, 22)}되어 있다. 本研究에서도 原料에 $ZnCl_2$ 와 HCl의 混合液을 加하고 沸騰시켜 digestion을 行할 때 均一한 黑褐色의 paste가 얻어지는 것으로 미루어 보아, 역시 溶解作用이 主된役割을 하는 것으로 思料된다. $ZnCl_2$ 의 溶解作用이란 木質의 主成分인 纖維素와 lignin中에서 $ZnCl_2$ 가 纖維素를 選擇的으로 溶解하여 活性化가 잘 일어나게 하

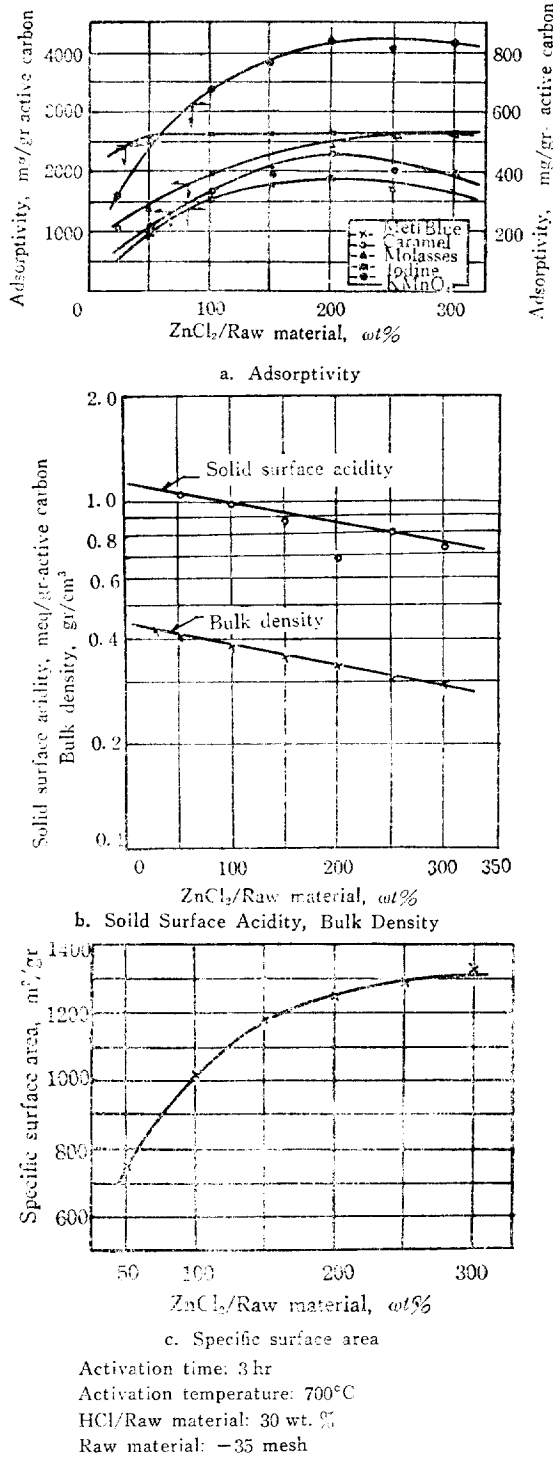


Fig. 9. Effect of Amount of Activation Agent, ZnCl₂, on Adsorptivity, Specific Surface Area, Solid Surface Acidity, and Bulk Density

(90) 94

는 것으로 밀어진다.

Fig. 9-a를 살펴보면 Iodine을除外한 나머지 Methylene Blue, Caramel 및 Permanganate에對한 吸着能이, 活性劑添加量의增加에 따라 繼續增加하고 있다. 이와 같은 現象은 上記한 바, ZnCl₂添加量의增加에依한活性化促進과 이에 따르는 吸着能의增加일 것으로 思料된다.

Fig. 9-b를 살펴보면活性劑의添加量이 많아짐에 따라 固體表面酸性度와 bulk density는 다같이直線적으로減少한다. 이와 같은結果는 앞서 IV-1의活性化機構에서 說明한 바와 같이活性劑의添加量이 많아 절수록活性化가促進되어, 結果적으로bulk density가減少하는 것으로 생각된다.

活性劑의添加量과固體表面酸性度및bulk density사이의相關係數는危險率5%내로써有意의이었고 여기에서求한回歸直線式은 다음의 式(7), (8)로 나타내었다.

$$y = 1.128e^{-0.0613x} \quad (7)$$

但 y: 固體表面酸性度, meq-KOH/gr-active carbon

$$x: 活性剤의添加量, ZnCl₂/Raw material, wt. %$$

$$y = 0.448e^{-0.06144x} \quad (8)$$

但 y: Bulk density, cm³/gr

$$x: 活性剤의添加量, ZnCl₂/Raw material, wt. %$$

한편比表面積은 Fig. 9-c에서 나타나는 바와 같이活性劑의添加量에 따라 繼續적으로增加하고 있는데, 그中에서도初期增加率은 가장顯著하다. 이와 같은現象은 역시活性剤의增加에 따르는細孔數와細孔徑의增大가比表面積의增加를招來한 것으로思料되는바,活性剤의過大使用은纖維素의過溶出을일으켜過活性化로因한比表面積 및吸着能의減少를 가져오는 것으로推測된다.

ZnCl₂使用量의變化에 따라比表面積의變化關係는역시이의電子顯微鏡에依한追跡的인檢鏡인 Fig. 6에서도充分히觀察할 수 있다.

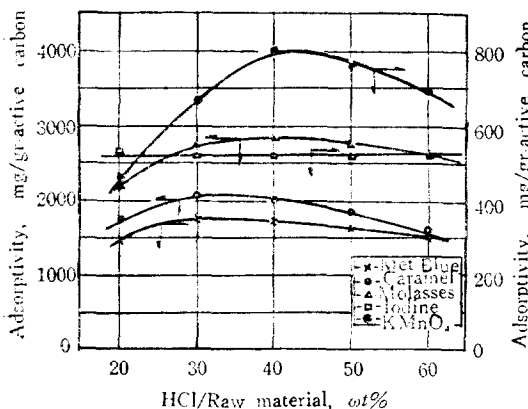
4. 活性助剤(HCl)의添加量과吸着能

活性剤와活性助剤에對한系統의豫備實驗^[12]에서活性剤인ZnCl₂만을使用할境遇, digestion이느리고, 열어진活性炭의吸着能도不良하였다.活性助剤中에서는無機物中특히HCl이좋은結果를보여주었다. 이에따라서本實驗에서는活性助剤인HCl과吸着能과의有關係를檢討하였다.

試料를調製할 때,活性助剤(HCl)의添加量以外의

他因子 即 原料 및 試料의 粒度, 活性劑의 添加量, 活性化時間, 活性化溫度를 모두 固定시키고 HCl의 添加量만을 變數로써 變化시켜서 얻은 試料들의 吸着能을

Table 1, 2에 依據하여 plot 하면 다음의 Fig. 10을 얻



Activation time: 3hr

Activation temperature: 700°C Raw material size: -35 mesh
ZnCl₂/Raw material: 200 wt. % Product size: -150/+200mesh

Fig. 10. Effect of Amount of Activation Promoter, HCl, on Adsorptivity

는다.

Fig. 10에 依하면, KMnO₄의 吸着量은 HCl의 添加量이 많아질수록 계속 增大하여 42%附近에서 最大에 达한 다음, 완만히 減少되고 있는데, Caramel, Methylene Blue, Molasses의 境遇에도 吸着量은 차츰增加하다가 각己 32%, 30%, 40%附近에서 最高值에 达한 後, 완만한 減少를 보인다. 그러나 Iodine의 吸着量만은 N-1에서 指摘한 바와 같이 HCl添加量에 無關하게一定하였다. 다시 말하면 HCl添加量은 30~40%範圍가 가장 適合할 것으로 思料된다.

考察하건대 添加된 HCl의 作用機構는, ZnCl₂의 纖維素의 溶解作用을 促進하여 結果的으로 digestion의 速度를 빨리하는 活性助劑라고 思料될 수 있을 것이다. 그러나 HCl添加量이 過重하면 結果的으로는 N-1에서 말한 過活性化가 일어나 吸着能이 減少되는 것으로 생겨된다.

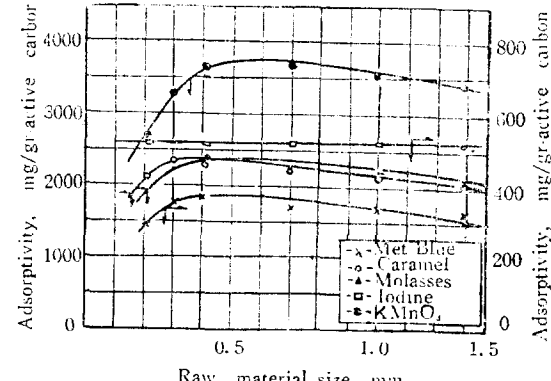
5. 原料(lopsap)의 粒度와 吸着能

Digestion은 一種의 固·液系反應이므로 固體인 粉體의 粒度가 클 境遇, digestion 速度가 느릴 뿐 아니라, digestion이 不充分하여 こ서, 試料(活性炭)의 吸着能이 低下될 것으로 思料된다.

原料 lopsap의 粒度는 大體로 8 mesh (2.362 mm)와 48 mesh (0.295 mm) 사이의 範圍에 있으므로 粒度의 大

小가 digestion 速度, 나아가서는 吸着能에 有關할 것으로 推測하고, 原料는 餘分析하여 粒度에 따른 吸着能을 實驗 檢討하였다.

Fig. 11은 試料를 調製할 때의 其他因子中에서 原料粒度以外의 것을 모두 固定시키고 原料粒度만을 變化시켜 얻은 試料들의 吸着能을 Table 1, 2에 依據하여 plot 한 것이다.



Activation time: 3hr

Activation temperature: 700°C HCl/Raw material size: 30wt% ZnCl₂/Raw material: 200 wt. % Product size: -150/+200mesh

Fig. 11. Relation between Raw Material Size and Adsorptivity

이 그림을 살펴보면 Iodine의 吸着能은, 原料의 粒度에 無關하게一定하다. 그러나 餘他 吸着能은, 工業的意義를 가지고 있는 톱밥의 粒徑範圍를 살펴 볼 때 大體로 粒徑의 增大에 따라 吸着能이 약간씩 減少되고 있지만 別로 影響을 끼친다고는 할 수 없다. 即 粒度가 主로 8乃至48 mesh의 범위에 달하는 톱밥을 그대로 使用하여도 固·液系反應인 이 digestion에는 無關한 것으로 思料된다.

6. 試料의 粒度와 吸着能

아래의 Fig. 12는 試料를 調製할 때 試料의 粒度以外의 他因子는 모두 固定시키고 試料의 粒度만을 變數로 變化시켜 얻은 吸着能을 Table 1, 2에 依據하여 plot 한 것이다.

한편 이들 測定 data로 부터 求한 吸着能의 回歸方程式은 다음의 式 (9), (10), (11), (12)로 表示된다.

$$y = 750x + 295 \quad (9)$$

但 y: Methylene Blue 吸着量, mg/gr-active carbon

x: 試料의 粒度, mm

$$y = 530 \quad (10)$$

但 y: Iodine의 吸着量, mg/gr-active carbon

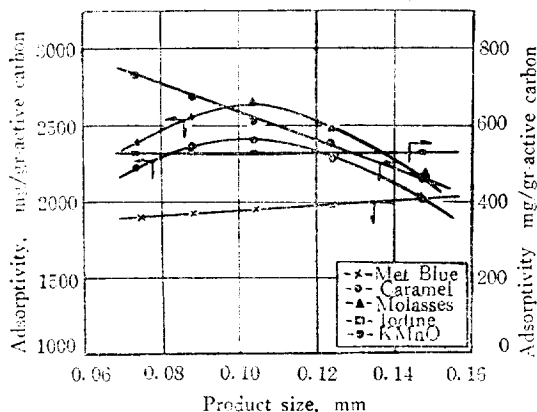
x: 試料의 粒度, mm

$$y = -3820x + 1010 \quad (11)$$

但 y : KMnO_4 의 吸着量, mg/gr-active carbon
 x : 試料의 粒度, mm

$$y = 8750x + 1760 \quad (12)$$

但 y : $x < 0.1$ 範圍에서의 Molasses 的 吸着量,
mg/gr-active carbon
 x : 試料의 粒度, mm



Activation time: 3 hr

Activation temperature: 700°C HCl/Raw material: 30 wt. % ZnCl_2 /Raw material: 200 wt. % Raw material size: -35 mesh

Fig. 12. Relation between Product Size (Sample) and Adsorptivity

$$y = -11670x + 3910 \quad (13)$$

但 $y: x > 0.11$ 範圍에서의 Molasses 的 吸着量,
mg/gr-active carbon
 x : 試料의 粒度, mm

Fig. 12 에서는 Iodine 的 吸着量만이 試料의 粒度와는 關係없이 一定하고 Methylene Blue 的 境遇은 吸着量이 試料의 粒度의 增加에 따라 완만히 增加하며, 反面 Molasses 와 Caramel 的 吸着量은 0.1附近까지 增加하였다가 다시 減少하고 있다. 그리고 KMnO_4 的 吸着量은 粒度의 增加에 따라서 急速度로 줄어들고 있다.

考察하건대 試料를 어느 程度 粉碎하면 粒子數의 增加로 因하여 比表面積이 增加되나, 過粉碎하면 細孔이 破壞되어 bulk density 가 增加되고 比表面積이 減少된다. 따라서 Molasses 와 Caramel 的 境遇은 吸着量이 일단 增加하였다가 減少되는 것은 이러한 데 起因하는 것으로 思料된다.

KMnO_4 吸着은 主로 colloid 를 除去할 수 있는 試料의 能力を 表示하므로 試料의 粒度가 增加됨에 따라서 外部表面積이 增加하여 吸着能이 增加되는 것으로 밀어진다.

7. Bulk Density 와 吸着能 및 比表面積

試料(活性炭)를 調製함에 있어서 活性化時間, 活性化溫度 및 活性剤(ZnCl_2)의 添加量 等을 各己 變量으로 擇하여 이에 따른 吸着測定結果를 Table 1, 2에 依據하여 plot 한 것이 Fig. 13-a이고 bulk density에 對하여 比表面積을 plot 한 것은 Fig. 13-b에 結었다.

Iodine 的 吸着能은 Fig. 13-a, 13-b에서도 보면 역서 bulk density에는 無關하게 一定하고 Methylene Blue, Caramel 과 Permanganate 的 吸着能 및 比表面積은 bulk density 가 減少함에 따라 增加하다가 다시 0.32 gr/cm³附近에서 減少됨을 알 수 있다.

이러한 現象은 앞서 活性化機構에서 說明한 바와 諸이 活性化가 進行됨에 따라서 細孔數가 많아지는 同時 細孔徑이 커져서 bulk density 가 減少되고 따라서 比表面積이 커지는 것으로 보인다. 그러나 粒子內部의 細孔들이 破壞되어 이들이 合쳐져서 大孔이 形成되는 所謂 型 1의 過活性化過程에서는 bulk density 가 減少될 것이며, 또한 型 2의 過活性化過程에서는 反對로 bulk density 가 增加하는 反面에 比表面積은 減少할 것으로 思料된다. 換言하면 bulk density 는 活性化의 函數로서 吸着劑의 porosity 를 測定하는 簡便한 間接的方法이 될 수 있다. 即 bulk density 0.32 gr/cm³附近에서는 活性化가 繼續進行되고 이 點을 넘으면 型 2의 過活性化가 일어난다고 推測할 수가 있는 것이다.

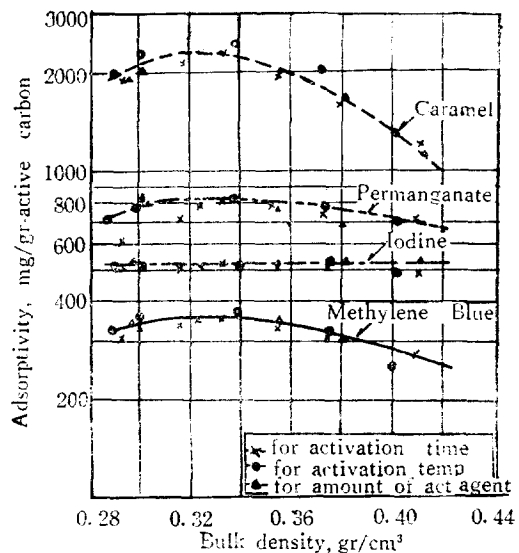
8. 固體表面酸性度와 吸着能 및 比表面的

本 實驗에서는 試料를 調製할 때의 個의 操作을 考慮하지 않고 全 試料를 通하여 total acid 로서의 固體表面酸性度와 吸着能 및 比表面積의 相關性을 Table 1, 2에 依據하여 求하였다. 그 中 Fig. 14-a는 固體表面酸性度에 對한 吸着能을 plot 한 것이며, 比表面積은 Fig. 14-b로 表示하였다.

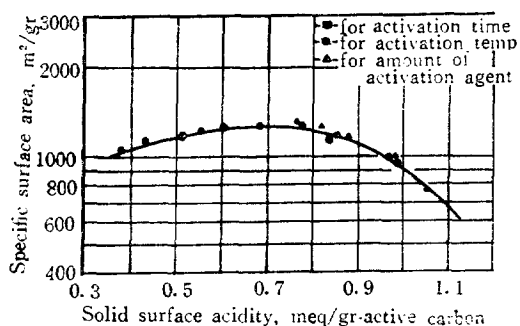
Iodine 的 吸着量은 역시 Fig. 14-a에서도 固體表面酸性度에 無關한데 比하여 Molasses, Permanganate, Methylene Blue 的 吸着量은 각각의 固體表面酸性度가 0.55, 0.80, 0.60인 附近까지 增加하였다가 減少하기始作한다.

한편 Fig. 14-b에서는 比表面積이 固體表面酸性度 0.7附近을 경계로 하여 완만한 增減을 나타내고 있다.

一般的으로 觸媒反應 乃至 化學吸着에서는 固體表面酸性度가 決定的인 主因子일 것으로 報告²³⁾되어 있다. 그러나 活性炭에서 볼 수 있는 吸着劑의 吸着能, 即 物理吸着에서는 이를 크게 나누어서 두가지로 생각하는 것이 타당할 것이다. 化學吸着의 경우와 같이 固



a. Adsorptivity

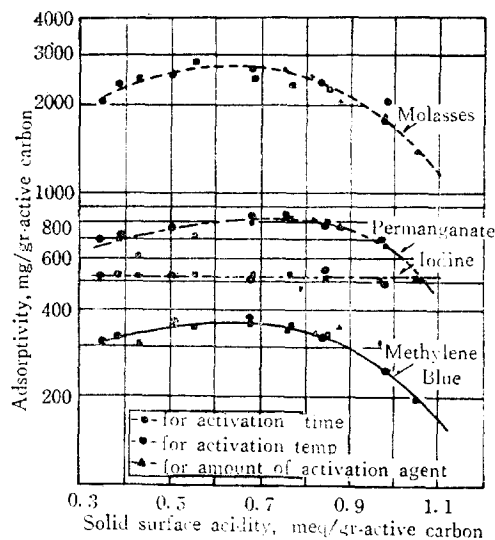


b. Specific Surface Area

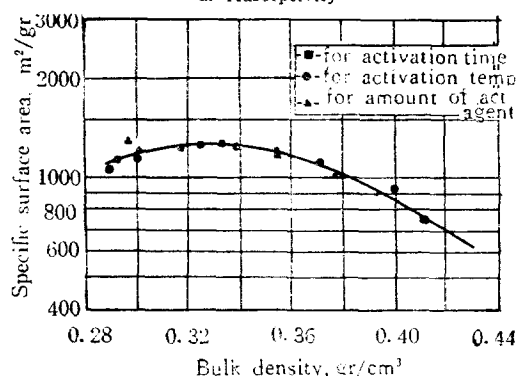
HCl/Raw material: 30 wt. %
Raw material size: -35 mesh
Product size: -150/+200 mesh

Fig. 13. Relation between Bulk Density and Adsorptivity, and that of Bulk Density and Specific Surface Area

體表面酸性度에 關聯된 것이 있는가 하면, 物理吸着에 起因되는 것으로 보이는 Molasses, Permanganate, Methylene Blue의 吸着能은 細孔數, 細孔徑 및 細孔分布等 表面의 物理構造에 크게 影響 받을 것으로 믿어 진다. 結局 그 밖의 여려 因子도 다같이 關聯된 것으로 생각하는 것이 옳을 것이다.



a. Adsorptivity



b. Specific Surface Area

HCl/Raw material: 30 wt. %
Raw material size: -35 mesh
Product size: -150/+200 mesh

Fig. 14. Relation between Soild Surface Acidity and Adsorptivity, and that of Soild Surface Acidity and Specific Surface Area

9. 比表面積과 吸着能

比表面積과 吸着能과의 關係는 semi-log 座標를 써서 아래의 Fig. 15에 실었다. 여기서는 試料(活性炭)를 調製할 때의 各種 因子를 個別의 으로 考慮하지 않았으며, 全試料에 걸쳐서 比表面積에 關한 吸着能의 測定 data를 Table 1, 2에 依據하여 作圖하였다.

한편 이를 吸着能의 測定 data로부터 最少 自乘法에 依하여 回歸關係를 求하면 다음의 式 (14), (15), (16), (17)가 얻어진다.

$$y = 340e^{0.00157x} \quad (14)$$

但 y : Caramel 吸着量, mg/gr-active carbon
 x : 比表面積, m^2/gr
 $y = 469x^{0.000445x}$ (15)

但 y : $KMnO_4$ 吸着量, mg/gr-active carbon
 x : 比表面積, m^2/gr
 $y = 482e^{0.000944x}$ (16)

但 y : Iodine 吸着量, mg/gr-active carbon
 x : 比表面積, m^2/gr
 $y = 191e^{0.000488x}$ (17)

但 y : 吸着量, Methylene Blue mg/gr-active carbon
 x : 比表面積, m^2/gr

Fig. 15의 實線은 이들 回歸直線을 나타내는 것으로
 \diamond 를 回歸直線을 檢定한 結果, 各 直線의 危險率 1~3% 内에서 모두 有意의이었다.

Fig. 15에 依하면 一般的으로 比表面積의 를수록 吸着能 역시 커짐을 알 수 있다.

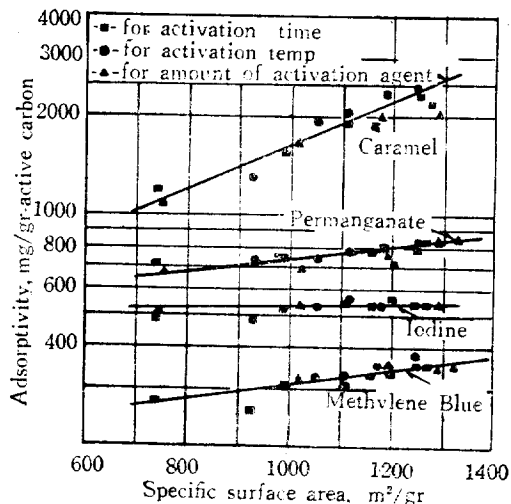
吸着劑는 보통 多孔性粒子로 되어있어서 지금 그 表面構造를 考察해 보건데, 電子顯微鏡에 依한 檢鏡인 Fig. 4, 5, 6으로서도 明白히 觀察할 수 있는 바와 같이 幾何學的 表面인 外部表面積과, 多孔性粒子의 繩裂된 盲管이나 細孔의 壁으로 이루어진 内部表面積으로 區分된다. 따라서 吸着劑는 一般으로 많은 細孔으로 因한 莫大한 内部表面積을 가지고 있다.

細孔들은 大體로 submicro pore (10A° 以下), micro pore ($10\text{A}^\circ \sim 30\text{A}^\circ$), macro pore ($30\text{A}^\circ \sim 100,000\text{A}^\circ$)로 大別할 수 있으며²⁾, submicro pore는 低分子인 氣體의 吸着用, micro pore는 比較的 低分子인 液相吸着用, 그리고 macro pore는 高分子인 液相 및 微細한 膠質體의 吸着用에 有效할 것으로 思料된다.

以上의 結果를 考察해보건데, 比表面積과 吸着能 사이에는 直線的 關係가 成立되나, 어느 範圍以上에서는 比表面積의 增加에 比해 吸着能의 增加率이 낮아진다. 이는 極微細孔(submicro pore)의 多數 生成으로 因하여 比表面積은 繼續增加하더라도 Caramel, Molasses, Methylene Blue와 같이 比較的 큰 分子 및 微細粒子等으로 된 것은 極微細孔에 Knudsen擴散이 不可能함에 因因하는 것으로 생략된다. 또한 一般的으로 소나무原料를 使用하여 製造한 活性炭^{1,2)}은 $20\text{A}^\circ \sim 150\text{A}^\circ$ 또는 그 以上的 細孔이 많으므로 主로 液相吸着用에 適合할 것으로 思料되는 바이다.

V. 結論

$ZnCl_2$ 로 活性化시킨 液相用 活性炭製造에 있어서,



HCl/Raw material: 30 wt. %

Raw material size: -35 mesh

Product size: -150/+200 mesh

Fig. 15. Relation between Specific Surface Area and Adsorptivity

重要因子들의 變化에 따르는 各種 吸着能, 固體表面酸性度, 比表面積, bulk density, 電子顯微鏡의 檢鏡 等을 追跡의으로 測定하고 考察, 檢討하므로써 다음과 같은 結論을 얻었다.

1. $ZnCl_2$ 賦活活性炭製造의 重要 操作因子인 活性化時間, 活性化溫度, $ZnCl_2$ 添加量, HCl添加量, 原料粒度, 活性炭粒度 等에는 좋은 活性化狀態를 가져오는 最適條件이 存在하며, 이들 各己를 本 研究에서 求하였다.

2. Digestion 할 때 添加하는 $ZnCl_2$ 는 木質 中의 2個의 主成分 中에서 繼維素을 選擇的으로 溶解하여 다음 過程에서 活性化가 잘 일어날 수 있는 狀態로 い끄는 觸媒의인 役割을 한다.

$ZnCl_2$ 와 같이 添加하는 HCl은 $ZnCl_2$ 의 繼維素의 溶解作用을 促進하여 結果의으로 digestion의 速度를 크게하는 觸媒助劑의인 役割을 가진다.

3. Digestion을 行하므로써 活性化되기 쉬운 狀態로 된 것이, 活性化過程에서는 水素, 酸素, 炭素 等의 結合이 崩壊되어 水素, 酸素가 捸發하는 同時に 内部收縮이 일어나기 때문에, 多孔性構造의 表面狀態와 固體表面酸性度의 變化가 일어난다.

4. 活性化가 지나치면 細孔들이 破壞되고 合쳐져서 큰 구멍이 形成되어 bulk density, 比表面積, 固體表面酸性度가 모두 減少하는 所謂「型 1의 過活性化狀態」라고 指摘할 수 있는 狀態가 되고, 더욱 지나치면 큰 구멍까지 破壞乃至 消滅되어 bulk density는 增加하는

反面에 比表面積 및 固體表面酸性度는 더욱 減少하는 所謂 「型2의 過活性化狀態」라고 稱할 수 있는 狀態로 될 것이다.

5. 簡便히 測定할 수 있는 bulk density 는 活性炭의 活性化, 過活性化 等에만 依存되므로 活性炭 等의 吸着劑의 吸着能에 關하여 充分하고 效果的인 間接測定法 으로 使用할 수 있다.

6. 吸着能은 細孔分布 等 表面의 物理的 狀態에도 크게 從屬되지만 化學吸着, 觸媒能의 경우와 같이 固體表面酸性度와 密接한 相關性을 갖는다.

7. 모든 吸着能은 比表面積에 對하여 semi-log 座標에서 直線關係를 가지므로, 適合한 原料를 使用하였을 때는 比表面積의 測定만으로 그 活性炭의 大體의인 吸着能을 判定할 수 있다.

8. 活性炭은 submicro, micro, macro 孔의 細孔分布 狀態 等에 따라서 各種 特異用炭으로 나누어 질 것이다. 또 이 細孔分布는 活性炭製造條件 等에 依存한다.

끝으로 本 研究遂行에 있어서 始終 뜨거운 指導와 鞭達을 내려주신 申允卿 博士께 深甚한 感謝를 올리며 또 여려 모로 助力해준 諸位에게 謝意를 表하는 바이다.

引用文獻

1. A. J. Daiumbo & S. B. Smith; J. Am. Chem. Soc., **74**, 61 (1962)
2. A. J. Juhola, O. Edwin & Wüg; J. Am. Chem. Soc., **71**, 2069 (1949)
3. A. L. Webb; Ind. & Eng. Chem., **49**, 261 (1957)
4. Briggs; Proc. Roy. Soc. (London), **100(A)**, 88 (1921)
5. Chaney; Trans. Elec. Chem. Soc., **36**, 91 (1919)
6. C. L. Mantel; Adsorption, McGraw-Hill Book Co. (1951)
7. C. L. Thomas; Ind. & Eng. Chem., **41**, 2546 (1949)
8. F. M. Nelson & F. T. Eggertsen; Anal. Chem., **30**, 1387 (1958)
9. G. Jura & W. D. Harkins; J. Am. Chem. Soc., **66**, 1356 (1944)
10. G. P. Nahin & H. C. Hoffmann; Ind. & Eng. Chem., **41**, 2021 (1949)
11. G. Sandstede & E. Robens; Chem. Ing. Tech., **32**, 413 (1960)
12. J. H. L. Watson; J. Appl. Phys., **20**, 747 (1949)
13. 金丙郁; 活性炭製造中間報告書 (延世大學校 產業技術研究所) 서울, (1966)
14. 金丙郁, 金祥烈, 金志同, 柳萬馨; J. Korean Inst. Chem. Eng., **5**, 163 (1966)
15. 金丙郁, 卞裕亮; 韓國化學工學會, 總會研究發表 (大邱 28. 10., 1966)
16. 金丙郁, 張仁鏘; J. Kosean Inst. Chem. Eng., **4**, 113 (1966)
17. K. V. Wise & E. H. Lee; Anal. Chem., **34**, 302 (1962)
18. Lin-Sheng T'sai & Kung-Yao Chuang; Ind. & Eng. Chem., **34**, 812 (1942)
19. L. J. Burrage; Trans. Faraday Soc., **29**, 445 (1933)
20. 南宮寔, 河白顯; 韓國化學工學會, 總會研究發表會 (大邱 28. 10. 1966)
21. N. Sasaki & R. Ueda; Rev. Sci. Instr., **23**, 136 (1952)
22. N. Schilow, H. Schatunows Kaja & K. Tschmutow; Z. Physik. Chem. Abt. **A149**, 211 (1930)
23. Pins; J. Am. Chem. Soc., **82**, 2471 (1960)
24. Stephan Brunauer, P. M Emmett & Edward Teller; J. Am. Chem. Soc., **60**, 309 (1938)
25. Sudhamoy Mukherjee & Sukhamoy Bhattacharya; J. Am. Chem. Soc., **71**, 1725 (1949)